

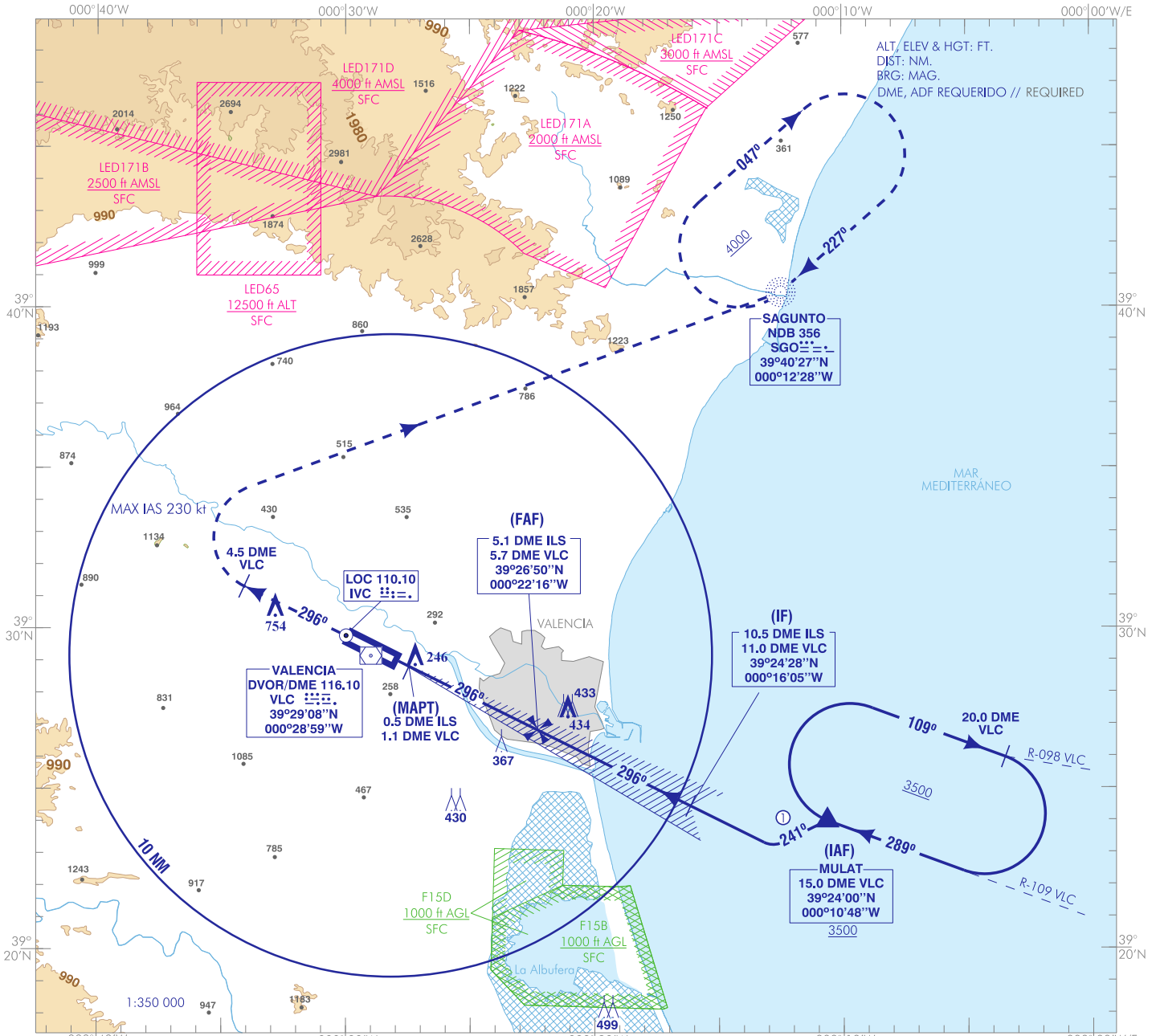
CARTA DE APROXIMACIÓN  
POR INSTRUMENTOS-OACI

ELEV AD  
240  
VAR 1°E (2020)

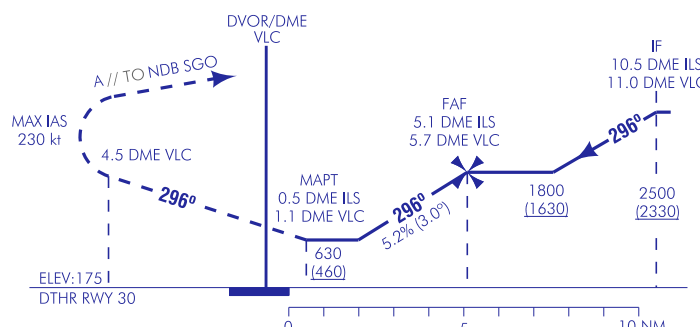
APP 120.100  
TWR 118.550  
GMC 121.875  
ATIS 121.075

VALENCIA  
LOC  
RWY 30

CAMBIOS: MSA, EN CIRCUITO CAT A, ZONAS, COORD DVOR EN LUGAR DEL DME, OBST, RETIRADA NDB PND, TRAMO DE APROXIMACIÓN INICIAL DESDE NDB PND, E IAF Y ESPERA SOBRE NDB PND, CAMBIO EDITORIAL. CHANGES: MSA, CIRCLING CAT A, AREAS, COORD DVOR INSTEAD OF DME, OBST, NDB PND, INITIAL APPROACH SEGMENT FROM NDB PND AND IAF AND HOLDING OVER NDB PND REMOVAL, EDITORIAL CHANGE.



**FRUSTRADA:** SUBIR EN RUMBO DE PISTA HASTA 4.5 DME VLC. VIRAR A LA DERECHA (IAS MAX 230 kt) DIRECTO A NDB SGO ASCIENDIENDO A 4000 PARA INCORPORARSE A LA ESPERA.  
**MISSED APCH:** CLIMB ON RUNWAY HEADING UP TO 4.5 DME VLC. TURN RIGHT (MAX IAS 230 kt) DIRECT TO NDB SGO CLIMBING TO 4000 TO JOIN THE HOLDING.  
 NOTAS:  
 ① TRAMO A ESTIMA NO ESTÁNDAR.  
 NOTAS:  
 ① NON STANDARD DEAD RECKONING SEGMENT.



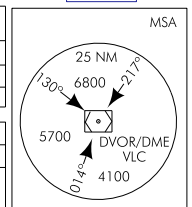
HGT REF ELEV DTHR RWY 30

OCA/H	A	B	C	D
2.5%		630 (460)		
STA				
En circuito (H) sobre Circling (H) over	240	830 (600)	1170 (940)	1280 (1050)
			1630 (1400)	

GS	kt	80	100	120	140	160	180
FAF-THR:	min:s						
FAF-MAPT: 4.6 NM	min:s	3:27	2:46	2:18	1:58	1:44	1:32
ROD: 5.2%	ft/min	425	531	637	744	850	956

ALT/HGT DME (ILS) FNA												
13	12	11	10	9	8	7	6	5	4	3	2	1
									1500 (1330)	1190 (1010)	870 (690)	

TA 6000



VALENCIA AD

REQUISITOS DE LA BASE DE DATOS AERONÁUTICA  
 AERONAUTICAL DATABASE REQUIREMENTS

PROCEDIMIENTOS DE APROXIMACIÓN POR INSTRUMENTOS // INSTRUMENT APPROACH PROCEDURES

LOC RWY 30

PUNTO POINT	LAT	LONG	AZIMUT VERDADERO TRUE BEARING	DISTANCIA DME DME DISTANCE (NM)
MULAT (IAF)	39°23'59.7"N	000°10'47.7"W	109.94° (VLC)	15.00 DME VLC
IF	39°24'27.7"N	000°16'05.0"W	116.16° (LOC IVC)	10.45 DME ILS
FAF	39°26'49.9"N	000°22'16.5"W	116.16° (LOC IVC)	5.10 DME ILS
MAPT	39°28'52.0"N	000°27'36.2"W	116.16° (LOC IVC)	0.50 DME ILS
Aproximación final de no precisión - Pendiente (Ángulo de descenso) // Non-precision final approach - Slope (Descent angle)				5.24% (3.00°)